

LA NIÑA 2016-2017

(14 Boletín, al 01 de Noviembre 2016)

*M. Sc. Antonio J. Salvá Pando **

Físico y Oceanógrafo

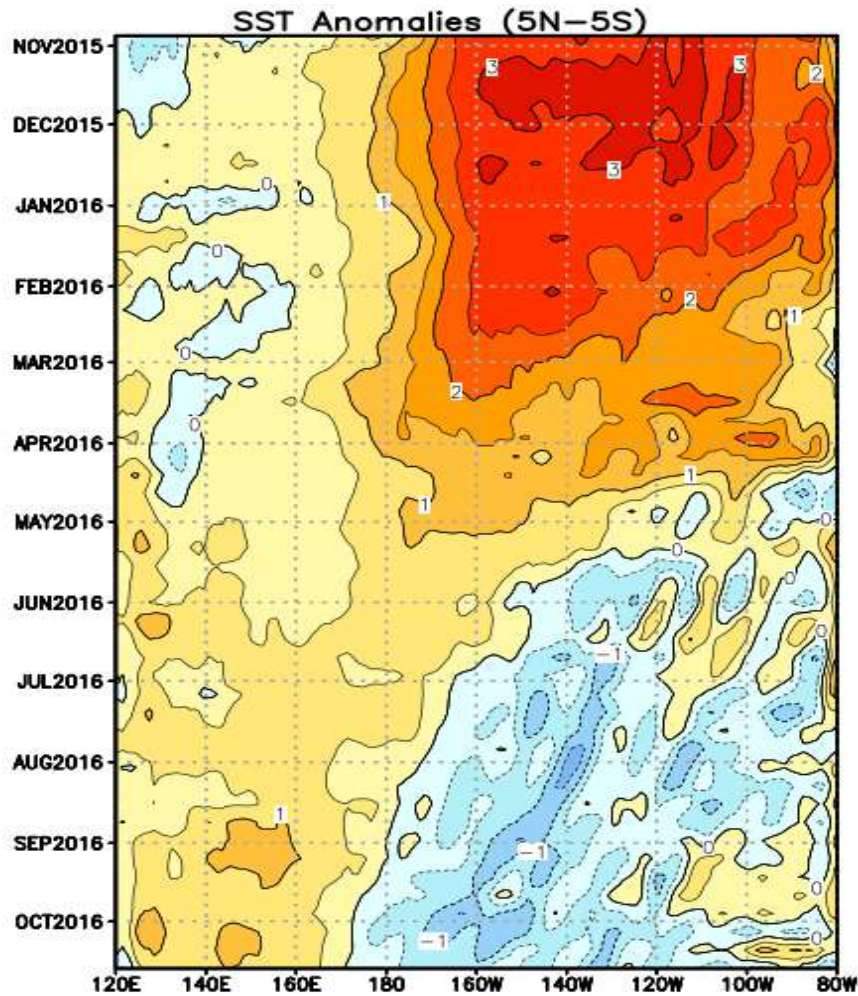
antoniosalva2002@yahoo.es

Lamentando no haber podido publicar el Boletín en el mes anterior, por motivos de salud; en el presente Boletín se muestra la evolución de las condiciones oceano-atmosféricas en el Pacífico Ecuatorial, y a lo largo de la costa peruana a la fecha.

En la **Figura 1**, la evolución de El Niño 2015-2016, es presentada tanto a nivel superficial como subsuperficial en el Pacífico Ecuatorial (Indonesia a la izquierda y Sudamérica a la derecha) desde noviembre del 2015. Se puede observar que tanto el calentamiento superficial (izquierda), como el subsuperficial (temperatura promedio de 0 a 300m de profundidad) a la derecha, disminuyen pronunciadamente a partir del mes de marzo 2016; no observándose nuevas Ondas Kelvin cálidas subsuperficiales (flechas) propagándose hacia Sudamérica. A nivel subsuperficial, el enfriamiento es más pronunciado desde abril a julio, debilitándose hasta fines de agosto e intensificándose nuevamente en el Pacífico Central a partir de mediados de setiembre.

En la **Figura 2**, se observan las anomalías térmicas en las cuatro regiones del Pacífico Ecuatorial. Es importante hacer notar la alta correlación existente entre las regiones Niño3.4 y Niño 3; en cambio, la Región 1+2 no se ve alterada por el enfriamiento del Pacífico Central. Esto se debe a que esta región es afectada por la advección de aguas frías de la Corriente Peruana y además de la compleja circulación oceánica que se presenta en esta Región.

En la **Figura 3** se puede observar el enfriamiento superficial y subsuperficial (color azul) extendiéndose en el Pacífico Ecuatorial. A fines del mes de mayo; el enfriamiento superficial llega a afectar hasta la región Niño 3.4 (rectángulo entre 120° W y 170° W), A fines de octubre el enfriamiento se ha extendido, sin embargo, no compromete en forma apreciable a la región Niño 1+2 (cuadrado). A nivel subsuperficial el núcleo de enfriamiento es mucho mayor durante mayo que en octubre.



Deg. C

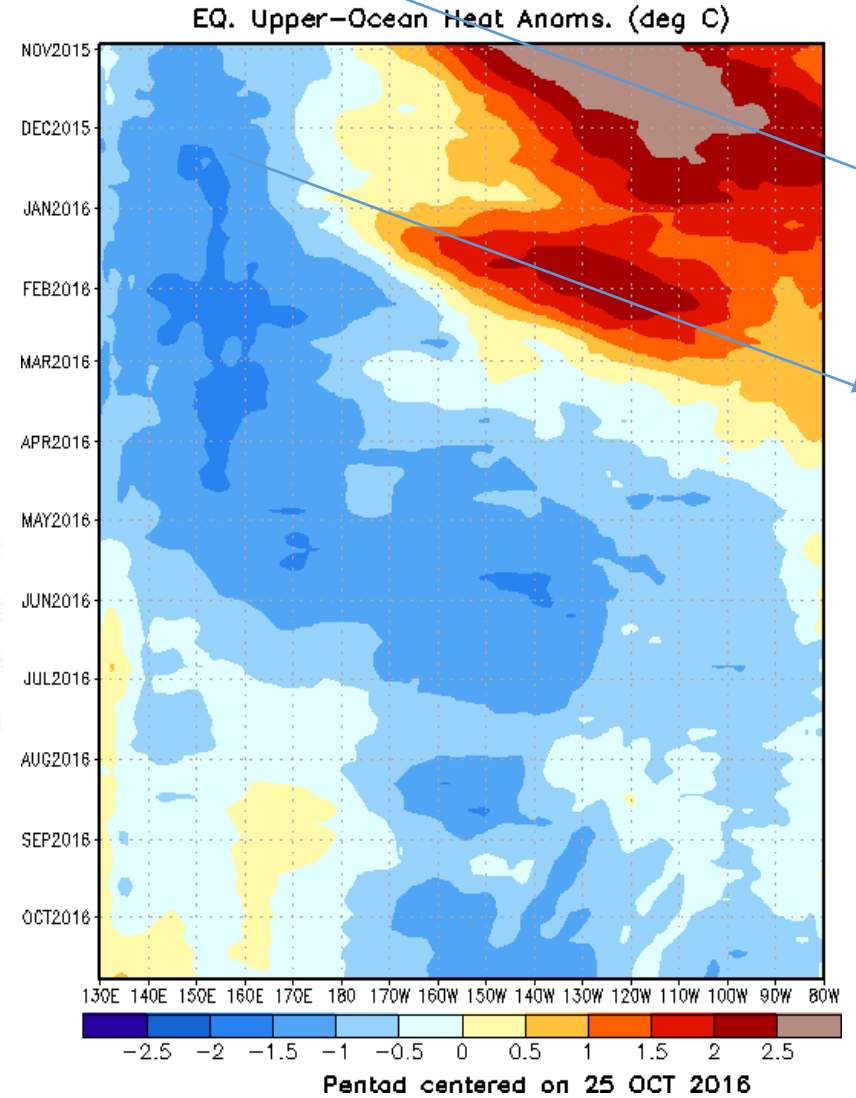
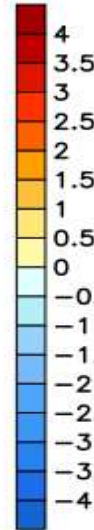


Fig. 1) Evolución superficial y subsuperficial de El Niño en el Pacífico Ecuatorial (NOAA, 2016)

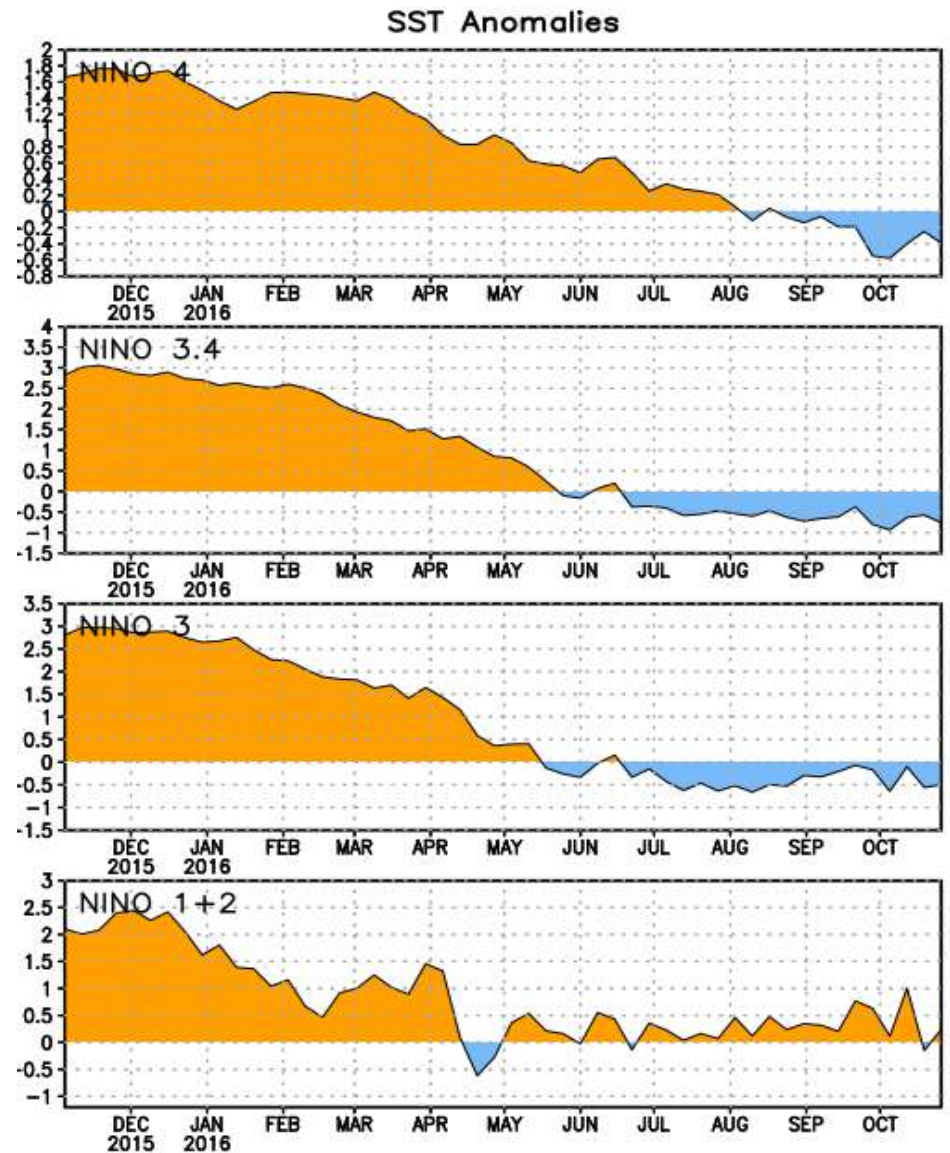
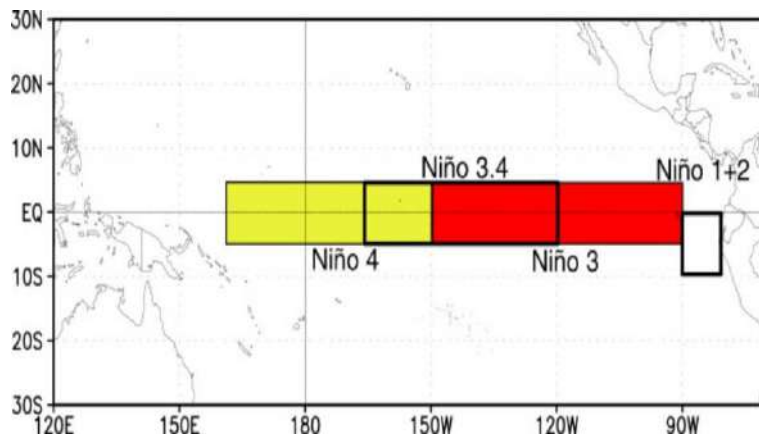
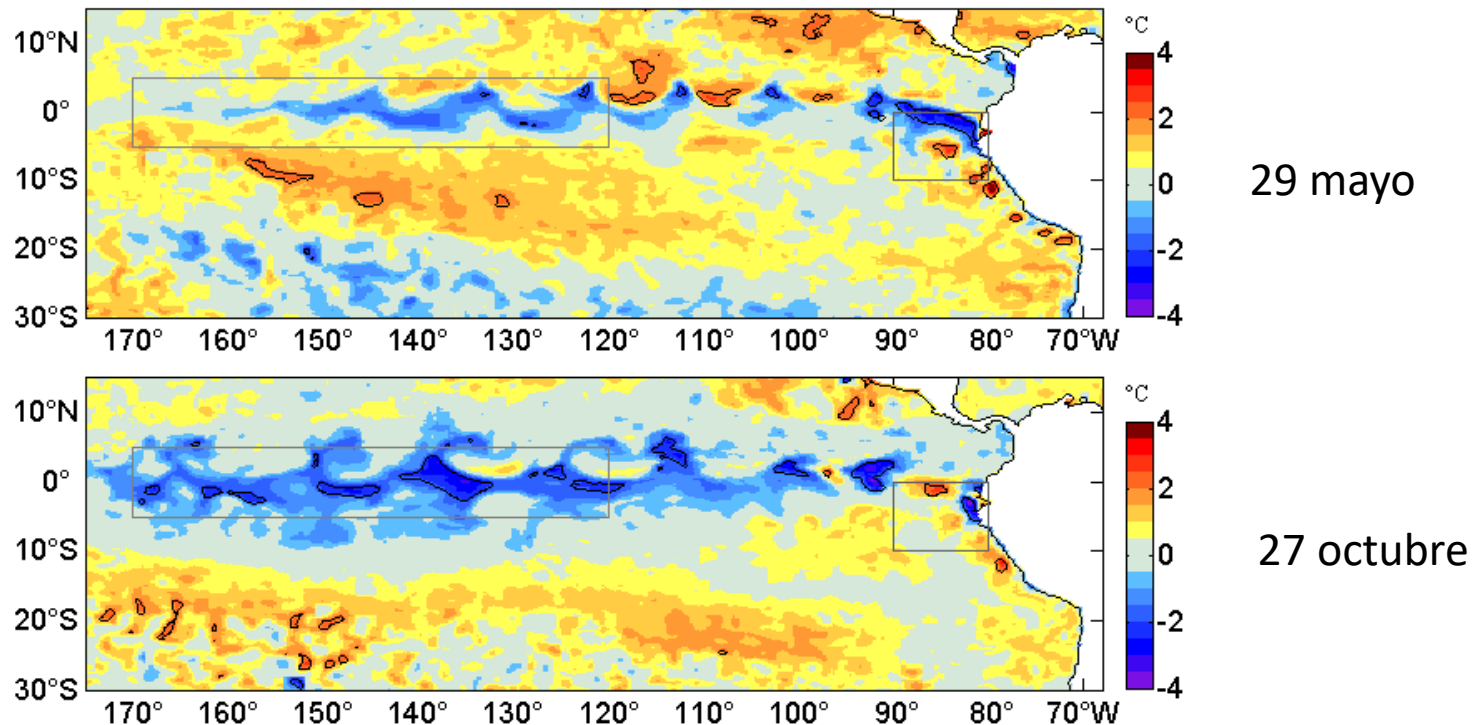
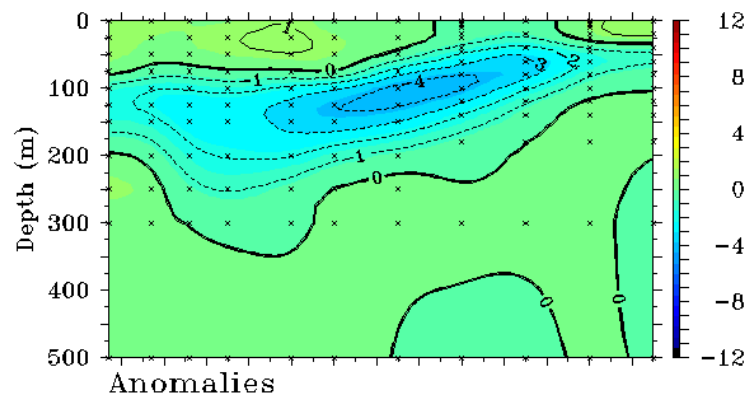


Fig. 2) Anomalía de temperatura superficial en el Pacífico Ecuatorial (NOAA, 2016)



TAO/TRITON 5-Day Temperature ($^{\circ}\text{C}$)
 End Date: May 29 2016 2°S to 2°N Average
 140°E 160°E 180° 160°W 140°W 120°W 100°W



TAO/TRITON 5-Day Temperature ($^{\circ}\text{C}$)
 End Date: October 29 2016 2°S to 2°N Average
 140°E 160°E 180° 160°W 140°W 120°W 100°W

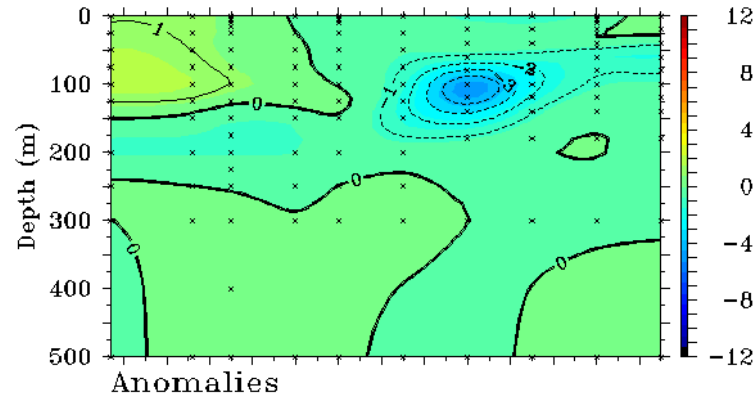
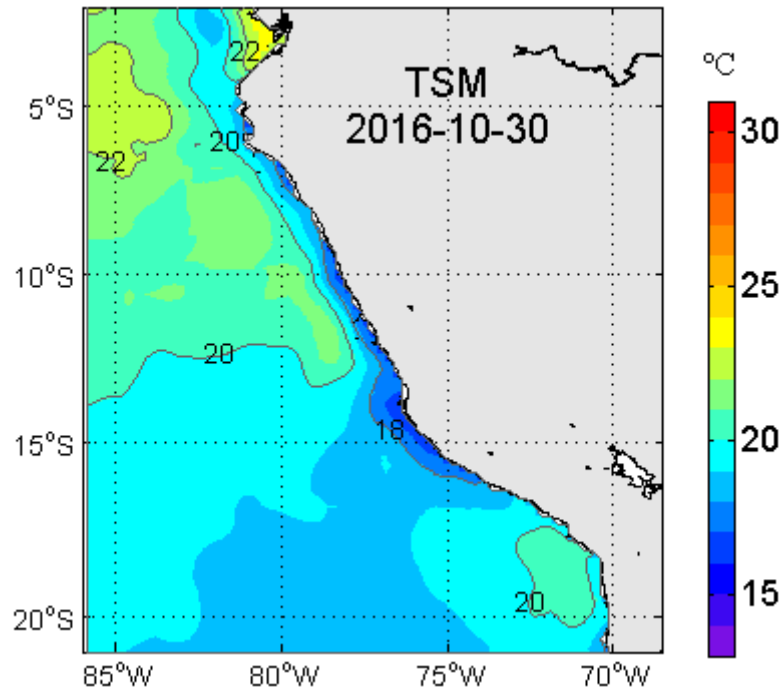


Fig. 3) Anomalías térmicas ecuatoriales durante mayo y octubre 2016 (IMARPE, NOAA, 2016)



ATSM (franja ~ 0 a 50 mn), Actualizado al 30-Oct-2016

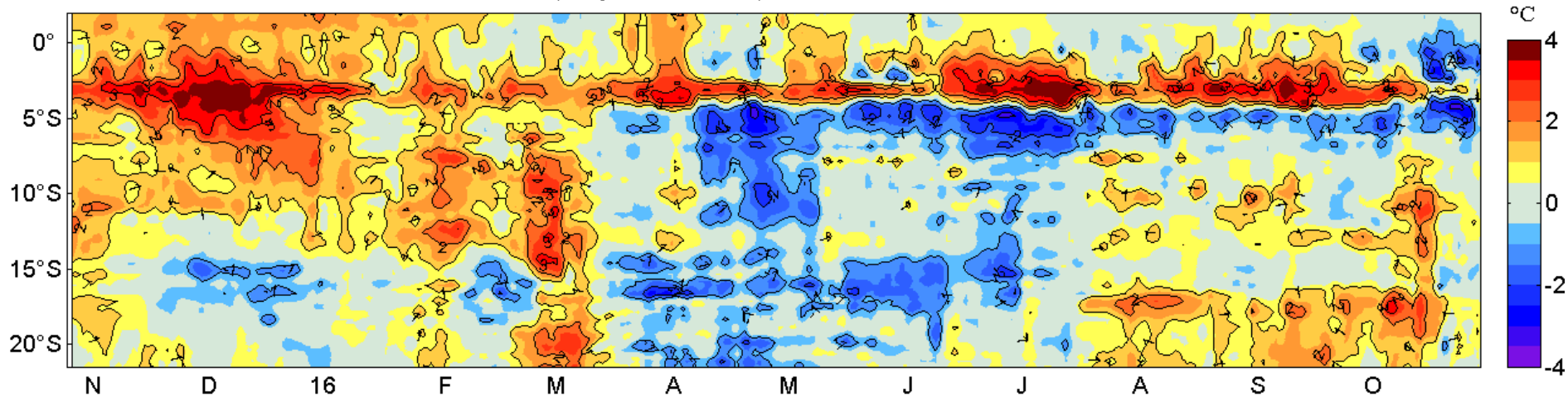


Fig. 4) Anomalías térmicas en la costa peruana 2016 (IMARPE, 2016)

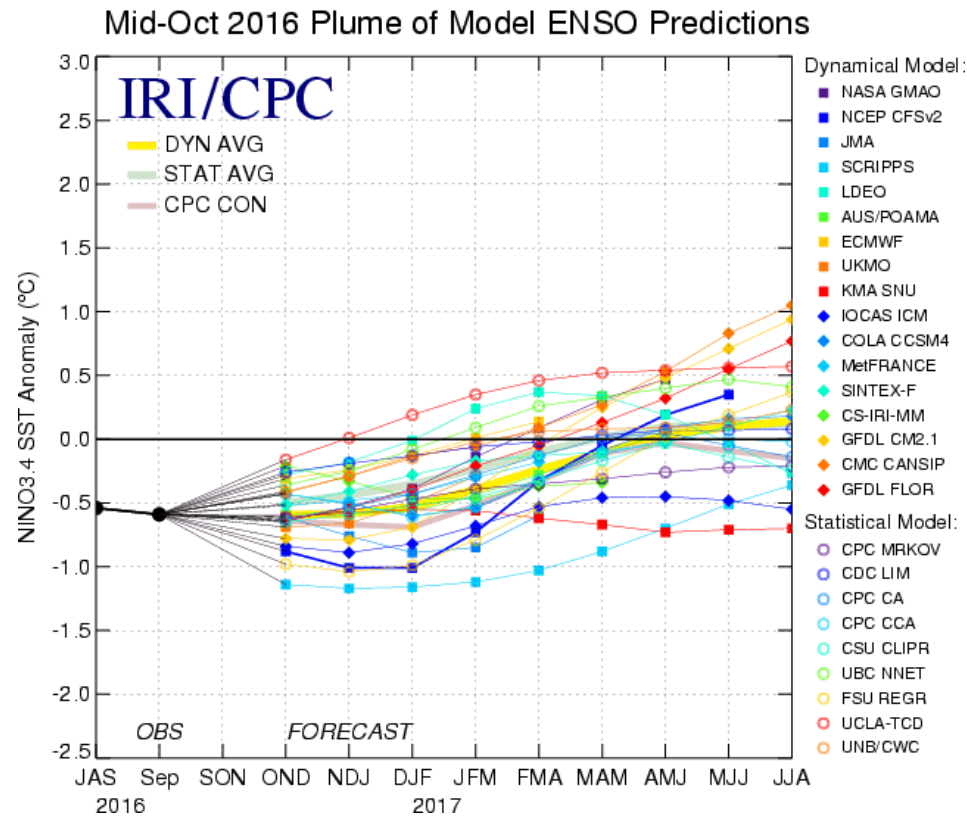
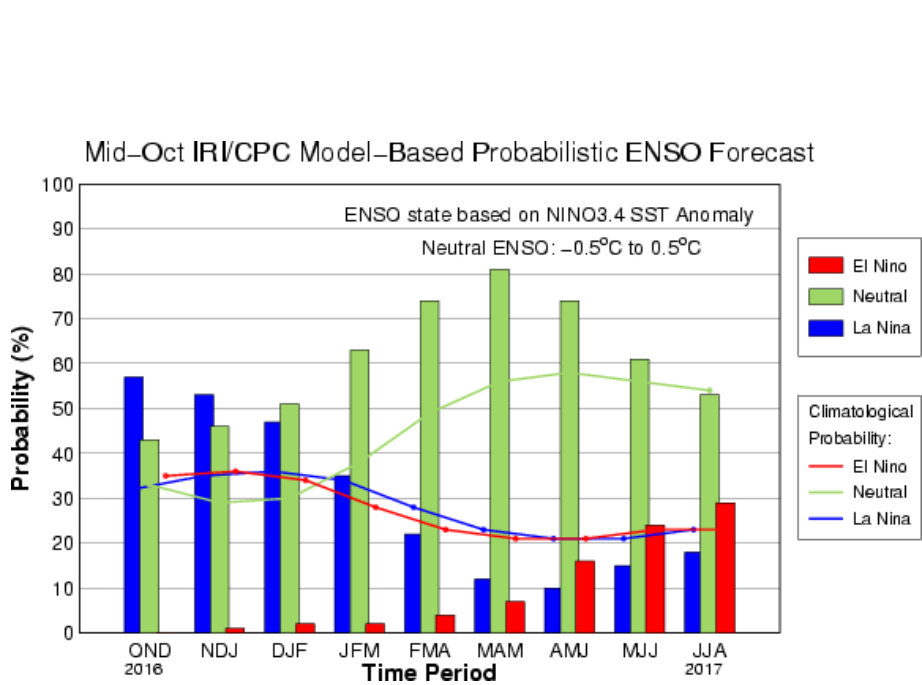


Fig. 5) Predicción en octubre, de los modelos en el Pacífico Ecuatorial (IRI, 2016)